

## Zbigniew MATRAS

e-mail: zmatras@mech.pk.edu.pl

Instytut Inżynierii Ciepłej i Procesowej, Wydział Mechaniczny, Politechnika Krakowska, Kraków

## Przepływ wieloskładnikowych roztworów polimerowo-micelarnych w rurach

## Wstęp

Układy wodne polimer – substancja powierzchniowo czynna (SPC) występujące w przyrodzie i w przemyśle zawierają jeden lub więcej polimerów oraz SPC w tym samym roztworze lub zawiesinie. Należą do nich różnorodne układy biologiczne, np. membrany. Ponadto mieszaniny polimer – SPC występują w żywności, stosowane są także w produkcji kosmetyków, farb oraz w przemyśle naftowym (regeneracja oleju) [1, 2]. W wielu przypadkach użycie ich jest nieświadome w tym sensie że są dodawane raczej dla ich niezależnych (indywidualnych funkcji), niż dla tych powstających w wyniku ich wzajemnych oddziaływań. Polimery są często używane dla kontroli reologii roztworów i zawiesin i dla zmiany międzyfazowych (powierzchniowych) właściwości ciał stałych. Środki powierzchniowo czynne są używane dla zmiany zwilżalności oraz dla właściwości solubilizacyjnych [3]. Kiedy polimery i środki powierzchniowo czynne obecne są razem, mogą oddziaływać ze sobą, prowadząc do znacznych zmian swoich właściwości. Ponadto polimer i środek powierzchniowo czynny mogą wpływać na wzajemną rozpuszczalność [4]. W układach tych wszelkie oddziaływania pomiędzy polimerem i środkiem powierzchniowo czynnym prowadzące do zmiany ich właściwości w wyniku tworzenia kompleksu (tzw. agregatów) mogą mieć ogromne znaczenie. Ponieważ znaczna liczba produktów przemysłowych zawierających mieszaniny polimer – SPC wciąż tworzona jest metodą prób i błędów, wiedza na temat oddziaływań pomiędzy składnikami znacznie ułatwiłaby optymalizację właściwości tych produktów.

## Wpływ stężenia składników roztworu na redukcję oporów przepływu

Obszerne i wielowątkowe badania właściwości fizykochemicznych rozpuszczonych polimerów, SPC i wieloskładnikowych roztworów polimerowo-micelarnych świadczą o bardzo złożonej ich strukturze. Niejednorodna w sensie mikroskopowym struktura częściowo rozpuszczonych makrocząsteczek, micel lub agregatów wpływa na niewyjaśnione w pełni zachowanie się reologiczne tego rodzaju roztworów.

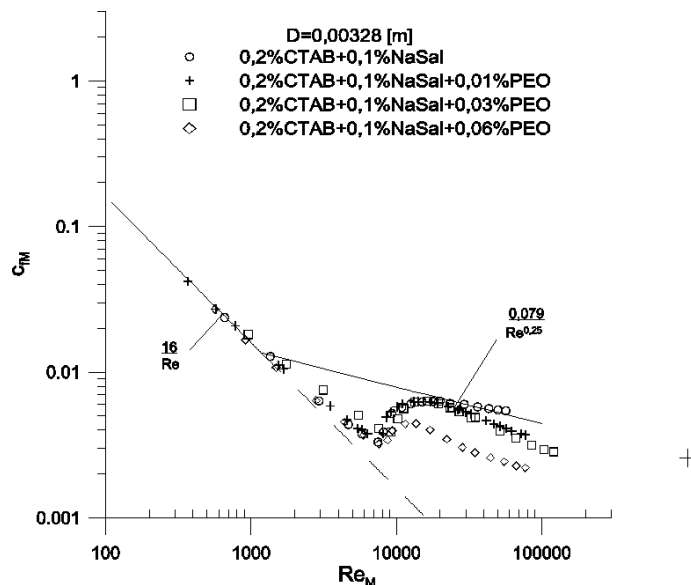
Głównym celem pracy było zbadanie wpływu składu roztworu, udziału masowego poszczególnych jego składników oraz wzajemnej proporcji dodawanych substancji na wielkość i zasięg redukcji oporów przy przepływie wieloskładnikowego roztworu polimerowo-micelarnego w rurach.

Drugim ważnym celem było przeprowadzenie analizy wpływu mechanicznej degradacji agregatów polimerowo-micelarnych na kształt i położenie krzywej oporów w strefie przejściowej i w zakresie przepływu turbulentnego.

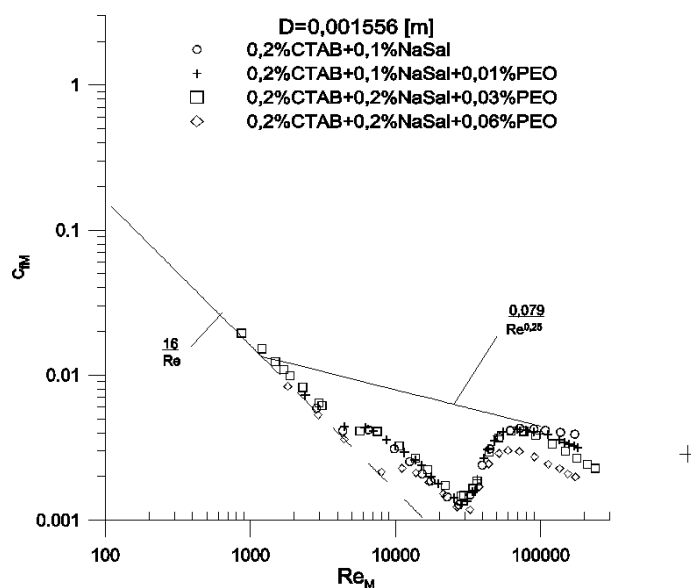
Przedmiotem badań były wodne roztwory, którego składnikami były: wielocząsteczkowy polimer PEO, substancja powierzchniowo czynna CTAB i sól NaSal. Istotny wpływ na kształt i położenie krzywej oporów ma skład roztworu, udział masowy poszczególnych jego składników oraz wzajemne proporcje dodawanych substancji.

Do badań wykorzystano reometr kapilarno-rurowy własnej konstrukcji opisany szczegółowo w pracy [5]. Reprezentatywne wyniki przeprowadzonych badań doświadczalnych przedstawiono na rys. 1 i 2, w formie bezwymiarowych zależności  $c_{fM} = f(Re_M)$ , gdzie

$$Re_M = \frac{D^n u_m \rho}{K \left( \frac{3n+1}{4n} \right)^n} \left[ \frac{2(n+1)}{3n+1} \right]^{2.5} \quad (1)$$



Rys. 1. Wpływ udziału masowego składników roztworu na redukcję oporów



Rys. 2. Wpływ udziału masowego składników roztworu na redukcję oporów

$$c_{fM} = \frac{D \Delta p}{2L \rho u_m^2} \left[ \frac{2(n+1)}{3n+1} \right]^{2.5} \quad (2)$$

W pracy [6] dokonano porównania wpływu rodzaju dodawanych substancji na wielkość i zasięg zjawiska redukcji oporów dla trzech wybranych średnic rur. Z analizy przytoczonych tam danych doświadczalnych wynika, że:

- dodatek polimeru (roztwór P) wywołuje wyraźną redukcję oporów w zakresie turbulentnym,
- dodatek SPC nie wywołuje żadnych anormalnych efektów klasycznej krzywej oporów,
- dodatek SPC i soli (roztwór CN) powoduje pojawienie się stabilnej strefy przejściowej, w której ma miejsce spektakularna redukcja oporów, z reguły większa od tej, obserwowanej w przypadku P,

– jednoczesne dodanie SPC, soli i polimeru (roztwór CNP) powoduje wydłużenie stabilnej strefy przejściowej w porównaniu z przypadkiem CN oraz pojawienie się dodatkowo strefy anormalnej redukcji oporów w zakresie turbulentnym.

Istotny wpływ na kształt i położenie krzywej oporów ma skład roztworu, udział masowy poszczególnych jego składników oraz wzajemne proporcje dodawanych substancji. W każdym z badanych przypadków roztworów z udziałem polimeru, tj. P, CP, CNP wzrost stężenia polimeru powoduje intensyfikację zjawiska redukcji oporów przepływu. Wpływ ten jest szczególnie zauważalny w zakresie turbulentnym i w mniejszym stopniu w strefie przejściowej (Rys. 1 i 2). W przypadku CNP zaobserwowano ponadto wydłużenie stabilnej strefy przejściowej i pojawienie się dodatkowej strefy redukcji oporów w zakresie turbulentnym.

Analiza danych przedstawionych na rys. 1 i 2 pozwala na sformułowanie ważnych wniosków. Dodatek polimeru do dwuskładnikowego roztworu SPC i soli wywołuje nie tylko rozszerzenie stabilnej strefy przejściowej, ale również dodatkowe zwiększenie redukcji oporów w tej strefie oraz pojawienie się zjawiska redukcji oporów w zakresie turbulentnym. Wzrost udziału masowego, dodatku wielokładnikowego polimeru w wielokładnikowym roztworze CNP, prowadzi do istotnego zwiększenia stopnia redukcji oporów DR zarówno w zakresie przejściowym jak i turbulentnym.

W rozważanych przypadkach CN i CNP zauważono wprawdzie degradację struktury wewnętrznej, wpływającą na osłabienie zjawiska redukcji oporów przepływu w zakresie turbulentnym, ale w tym przypadku zjawisko degradacji było niemal całkowicie odwracalne. Stwierdzono, bowiem, że bez względu na czas ścinania i liczbę powtórzonych serii pomiarowych tej samej próbki cieczy, krzywe oporów w zakresie turbulentnym były, za każdym razem, takie same. Na szczególną uwagę zasługuje zaobserwowany eksperymentalnie fakt, że przebieg krzywej oporów w obszarze przejściowym wskazuje trudną do zinterpretowania wieloetapową i niemal skokową zmianę w stabilnej strefie przejściowej. Zdaniem autora, dodatek substancji powierzchniowo czynnej i soli oraz polimeru uwypatnia rzeczywistą naturę strefy przejściowej między ruchem laminarnym i turbulentnym cieczy. Krzywa oporów w tej strefie, opisana może być ogólnym równaniem o postaci

$$c_{JM} = \frac{16}{Re_M} + \frac{0,79}{Re_M^{0,25}} (1 + \alpha)^{-0,75} \quad (3)$$

Składa się ona z kilku podstref, w których wartości stałej  $\alpha$  stopniowo, skokowo maleją z wzrostem liczby *Reynoldsa*.

W pierwszym i trzecim etapie przebiegu całej krzywej stała  $\alpha$  dla krzywej opisującej trzeci etap podstrefy przejściowej ma mniejszą wartość od wartości tej stałej w etapie pierwszym. Między podstrefą pierwszą i trzecią zaobserwowano występowanie podstrefy drugiej, w której następuje gwałtowny przyrost oporów w miarę wzrostu liczby *Reynoldsa*. Po przekroczeniu pewnej krytycznej wartości liczby *Reynoldsa*, znamionującej górny kres podstrefy trzeciej, rozpoczyna się niestabilna strefa przejściowa, w której zjawisko redukcji oporów przepływu gwałtownie zanika i w miarę dalszego wzrostu liczby *Reynoldsa* przyjmuje charakter podobny do zjawiska *Tomsa*.

Problemem, który wymaga dalszych badań i studiów jest zauważalny wpływ średnicy rury na wartość parametru  $\alpha$  w równaniu (3). Jedyłą – zdaniem autora – racjonalną przyczyną zmiany parametru  $\alpha$ , charakteryzującego odmienne własności reologiczne wielokładnikowego roztworu, jest postępująca w trakcie ścinania, nieodwracalna degradacja roztworów P oraz CP i w mniejszym stopniu CN oraz CNP, która wpływa na osłabienie zjawiska redukcji oporów w zakresie przejściowym i turbulentnym. W przypadku roztworów P i CP narastające odchyle-

nie rzeczywistej krzywej oporów w zakresie turbulentnym, w kierunku większych wartości współczynnika oporów  $c_{JM}$ , od teoretycznej [7]

$$c_{JM} = \frac{16}{Re_M} + \frac{0,079}{Re_M^{0,25}} \left\{ 1 + A \left[ \frac{8K}{\rho} \left( \frac{3n+1}{4n} \right)^n \left[ \frac{2(n+1)}{3n+1} \right]^{2,5} \left( \frac{Re_M}{D^2} \right)^{\frac{n}{2n}} \right]^{-0,75} \right\} \quad (4)$$

wy tłumaczyć można doraźną degradacją struktury cząsteczkowej polimeru postępującą w miarę wzrostu szybkości ścinania. W strefie wyraźnej degradacji roztworu (końcowy fragment krzywej przy największych wartościach  $Re_M$ ) następuje stopniowe zmniejszanie się wartości stałej lepkości  $A$ . Przy wystarczająco dużych liczbach *Reynoldsa* należy spodziewać się zaniku zjawiska *Tomsa*. Tezę tę potwierdza dodatkowo fakt, że efekt związany z degradacją struktury wewnętrznej roztworu pogłębia się w miarę zmniejszania się średnicy rury. Wtedy, jak wiadomo [7], w rurach o mniejszych średnicach, szybkości ścinania są znacznie większe. Powrót do stanu spoczynku powoduje częściową odbudowę struktury makrocząsteczkowej cieczy i sprawia, że wartość stałej  $A$  powraca do stanu niemal pierwotnego. Dopiero długotrwałe ścinanie roztworu w rurze powoduje nieodwracalne zniszczenie struktury wewnętrznej cieczy i wyraźne zmniejszenie się wartości stałej  $A$ . Nieco inaczej zachowują się dwuskładnikowe roztwory CN (Rys. 1) oraz trójskładnikowe roztwory CNP (Rys. 1, 2). Dodatek polimeru do dwuskładnikowego roztworu SPC i soli wywołuje nie tylko rozszerzenie stabilnej strefy przejściowej, ale również dodatkowe zwiększenie redukcji oporów w tej strefie oraz pojawienie się zjawiska redukcji oporów w zakresie turbulentnym.

Istotny wpływ na stopień oraz zasięg zjawiska mierzony wartościami ma dodatek soli. Zauważono, że wzrost stosunku stężeń  $\frac{C_{NaSal}}{C_{CTAB}}$  w roztworze CN prowadzi do pogłębienia się zjawiska redukcji w stabilnej strefie laminarno-turbulentnej (Rys. 1 i 2), ogranicza w niewielkim stopniu zasięg tej strefy ( $Re_{M2}$  maleje) i nieznacznie tłumi redukcję oporów roztworu CNP w zakresie turbulentnym.

## Wnioski

Wzrost dodatku CTAB + NaSal w roztworze przy stałym stężeniu PEO powoduje wzrost stałej konsystencji  $K$  i wskaźnika płynięcia  $n$  w modelu *Ostwalda-de Waele*, tj. nasilania się nienewtonowskich cech roztworu. Obserwuje się przy tym wzrost wartości stałej  $\alpha$  i związany z tym nasilenie się stopnia redukcji oporów w stabilnej strefie przejściowej. Z kolei wzrost stężenia polimeru przy stałym udziale masowym CTAB + NaSal wpływa wyraźnie na zwiększenie redukcji oporów w zakresie turbulentnym i wzrost stałej lepkości  $A$ . Dwuskładnikowy dodatek CTAB + NaSal nie wywiera zauważalnego wpływu na obniżenie strat ciśnienia w turbulentnym zakresie przepływu roztworu CNP. Wręcz przeciwnie, wzrost stężenia roztworu micelnarnego powoduje osłabienie zjawiska redukcji oporów w tym zakresie.

## LITERATURA

- [1] B. Lindman, K. Thalberg: Interactions of surfactants with polymers and proteins, CRC Press, Inc., 1993.
- [2] A. Sarrazin-Cartalas, I. Iliopoulos, R. Audebert, U. Olsson, *Langmuir*: 10, 1421 (1994).
- [3] J.C. T. Kwak: Polymer – surfactant systems, Marcel Dekker, Inc., (1998).
- [4] I.L. Povch, B. G. Pogrebnjak, A. I. Torjanik: Inż. Żurn., 37(5), 793 (1979).
- [5] Z. Matras: Inż. Chem. Proces., 24, 139 (2003).
- [6] Z. Matras: Inż. Ap. Chem, 48, nr 6, 121 (2009).
- [7] Z. Matras: Przepływy cieczy *Tomsa* w przewodach kołowych, Politechnika Krakowska. Monografia 29 (1984).